

B.26

22

1968 г.

Г.Е.Векштейн

РАВНОВЕСИЕ ПЛАЗМЫ КОНЕЧНОГО ДАВЛЕНИЯ
В ПРЯМОМ СТЕЛЛАРАТОРЕ

А Н Н О Т А Ц И Я

Рассмотрено равновесие плазмы конечного давления в трехзаходном винтовом магнитном поле и её влияние на интегральные характеристики удержания (удельный объём, вращательное преобразование). Показано, что уже при $\beta \ll 1$ они могут существенно отличаться от вакуумных.

БИБЛИОТЕКА
Института ядерной
физики СО АН СССР
ИНВ. №

Влияние конечного давления плазмы на конфигурацию магнитного поля в тороидальных системах и её устойчивость приводят к тому, что ловушки становятся непригодными для удержания, когда отношение давления плазмы к давлению магнитного поля ($\beta_0 = \frac{8\pi P}{B_0^2}$) становится больше некоторого предельного значения, которое, вообще говоря, может быть значительно меньше единицы. Степень этого ограничения не определяется универсальным законом, а зависит от соотношения между различными параметрами системы. Если плазма сосредоточена в приосевой области, далекой от сепараторы, и крутизна тора достаточно велика, так что $\frac{\gamma}{R} \gg \mu^2(\gamma)$, где γ - радиус плазменного шнуря, R - большой радиус тора и μ - параметр прокручивания, то уже при $\beta_0 \ll 1$ плазма выталкивается наружу и равновесие становится невозможным^{1/1}. В обратном предельном случае, когда эффекты тороидальности малы, естественно начать рассмотрение с прямого винтового поля. Такая задача рассматривалась в работе /2/, где было показано, что предельная величина β_0 определяется перестановочной неустойчивостью, связанной с тем, что вакуумная конфигурация не обладает "магнитной ямой" /3/. При $\beta_0 > 0,1$ стабилизирующее влияние перекрещенности магнитных силовых линий ("shear") уже не может скомпенсировать уменьшение энергии плазмы при расширении, и возникает неустойчивость.

Ниже мы покажем, что этот результат, использующий приближение вакуумного магнитного поля может оказаться неправильным, т.к. даже при $\beta_0 \ll 1$ диамагнетизм плазмы приводит к образованию "магнитной ямы". Поэтому можно надеяться, что такие неустойчивости не будут ограничивать давление плазмы в реальных установках.

Статическое равновесие плазмы описывается следующими уравнениями

$$\nabla P = \frac{1}{c} [\vec{j} \times \vec{B}] \quad \text{rot } \vec{B} = \frac{4\pi}{c} \vec{j} \quad \text{div } \vec{B} = 0 \quad (1)$$

Мы ограничимся только решениями, обладающими винтовой симметрией, когда вся зависимость от координат сводится к зависимости от γ и $\xi = \varphi - kz$. Тогда из условий

$$\text{div } \vec{B} = 0 \quad \text{и} \quad \text{div } \vec{j} = 0 \text{ следует:}$$

$$\begin{aligned} B_2 &= \frac{1}{2} \frac{\partial \Psi}{\partial \varphi} & B_\varphi - KZ B_2 &= - \frac{\partial \Psi}{\partial Z} \\ j_2 &= \frac{C}{4\pi Z} \frac{\partial \Psi}{\partial \varphi} & j_\varphi - K^2 j_2 &= - \frac{C}{4\pi Z} \frac{\partial \Psi}{\partial Z} \end{aligned} \quad (2)$$

где Υ и Ψ — произвольные функции от Z и φ . Используя второе из уравнений (1), получаем соотношение между Υ и Ψ

$$\Upsilon = B_2 + KZ B_\varphi$$

Из (2) следует, что $\nabla \Psi \cdot \vec{B} = 0$, то есть уравнение

$K(\Upsilon, \varphi) = \text{const}$ определяет магнитные поверхности. При равновесии давление на каждой магнитной поверхности постоянно, а токи текут вдоль них. Поэтому ρ и Υ являются функциями только от φ . После этого система уравнений (1) приводится к одному уравнению для Ψ [2]

$$\begin{aligned} \frac{\partial^2 \Psi}{\partial \rho^2} + \frac{1-\rho^2}{1+\rho^2} \frac{1}{\rho} \frac{\partial \Psi}{\partial \rho} + \frac{1+\rho^2}{\rho^2} \frac{\partial^2 \Psi}{\partial \varphi^2} + \frac{(1+\rho^2)}{K^2} \left[\frac{1}{4\pi} \frac{d\rho}{d\Psi} + \right. \\ \left. + \frac{\Upsilon}{1+\rho^2} \frac{d\Psi}{d\varphi} \right] - \frac{2\Upsilon}{K(1+\rho^2)^2} = 0 \quad \rho = KZ \end{aligned} \quad (3)$$

Частные его решения, соответствующие выбору $\rho = a\varphi$ и $\Upsilon = \text{const}$ рассмотрены в работе [4]. Такие решения соответствуют равновесию с продольным током. Но в стеллараторе полный ток через сечение $Z = \text{const}$ магнитной поверхности должен отсутствовать [2]

$$\int_0^{2\pi} d\varphi \int_{Z(4, \varphi)}^{Z(4, \rho)} j_2(Z, \varphi) Z dZ = 0$$

Это означает, что линии тока представляют собой замкнутые линии, обвивающие магнитную поверхность. Следовательно, выбор функций $\rho(\varphi)$ и $Z(\varphi)$ не может быть произвольным, а должен подчиняться некоторым дополнительным условиям.

В пределе $\rho \ll 1$ уравнение (3) значительно упрощается

и для трехзаходного поля имеет вид:

$$\frac{\partial^2 \psi}{\partial \rho^2} + \frac{1}{\rho} \frac{\partial \psi}{\partial \rho} - \left(\beta + \frac{\gamma}{\rho^2} \right) \psi + \frac{1}{K^2} \left[4\pi \frac{d\rho}{d\psi} + \frac{1}{2} \frac{d\beta}{d\psi} \right]^2 - \frac{2\beta}{K} = 0 \quad (4)$$

При $\rho = 0$ $\mathcal{Y} = \text{const}$ (так как $\vec{j} = 0$), и мы получаем обычное вакуумное решение /3/:

$$\psi = \frac{B_0}{2K} (\rho^2 - \beta \rho^3 \cos 3\varphi) \quad \mathcal{Y} = B_0 \quad \beta \gg 1 \quad (5)$$

При наличии плазмы возникает продольный ток, величина которого определяется из уравнений (1):

$$j_z = C \left[\frac{d\rho}{d\psi} + \frac{1}{4\pi} \frac{\partial \beta}{\partial \rho} + \frac{K\beta}{4\pi(\beta + \rho^2)} \frac{\partial \psi}{\partial \rho} \mathcal{Y}' \right] \quad (6)$$

Так как $\mathcal{Y} \approx B_0$, а $K\beta \frac{\partial \psi}{\partial \rho} \approx B_0 \beta^2$, то при $\beta \ll 1$ третий член в (6) пренебрежимо мал, и

$$j_z \approx C \left[\rho' + \frac{1}{8\pi} \frac{d\beta^2}{d\psi} \right]. \quad \text{Продольного тока нет, если } \rho + \frac{\beta^2}{8\pi} = \text{const}. \quad \text{Поскольку вне плазмы } \rho = 0 \text{ и } \mathcal{Y} = B_0, \text{ то } \rho + \frac{\beta^2}{8\pi} = \frac{B_0^2}{8\pi} \quad (7)$$

Выберем $\mathcal{Y}(\psi)$ в виде: $\mathcal{Y} = B_0 (1 - \beta_0)^{1/2} + \frac{\epsilon^2 K^2}{2} \psi^2$.

Тогда из (7)

$$\rho = \frac{B_0^2}{8\pi} \left[\beta_0 - \frac{(1 - \beta_0)^{1/2}}{B_0} \epsilon^2 K \psi - \frac{\epsilon^4 K^2}{4B_0^2} \psi^2 \right] \quad (8)$$

При заданных $\rho(\psi)$ и $\mathcal{Y}(\psi)$ ищем решение уравнения (4), переходящее в вакуумное (5), когда β_0 и ϵ стремятся к нулю:

$$\psi = \frac{B_0}{2K} \left\{ \frac{4}{\epsilon^2} (1 - \beta_0)^{1/2} \left[I_0(\epsilon \rho) - 1 \right] - \frac{48\beta}{(\epsilon + 9)^3} I_3[(\epsilon + 3)\rho] \cos 3\varphi \right\} \quad (9)$$

Как будет видно из дальнейшего, $\beta_0 \sim 1$ соответствует $\epsilon \gg 1$
В этом случае

$$\chi = \frac{B_0}{2K} \left\{ \frac{4}{\epsilon^2} (1-\beta_0)^{1/2} [I_0(\epsilon \beta_0) - 1] - \frac{48\gamma}{\epsilon^3} I_3(\epsilon \beta_0) \cos 3f \right\} \quad (10)$$

Уравнения (9) и (10) определяют новые магнитные поверхности.
Найдем радиус ребра ρ_c новой сепаратрисы ($\frac{\partial \chi}{\partial \rho}|_{\rho=\rho_c, f=0} = 0$)

$$\frac{4}{\epsilon} (1-\beta_0)^{1/2} I_0'(\epsilon \beta_0) = \frac{48\gamma}{\epsilon^2} I_3'(\epsilon \beta_0) \quad (11)$$

Давление плазмы должно монотонно падать от оси и на границе, которой является сепаратриса, $\rho = 0$ (или, что равносильно, $f = \beta_0$). Из (8) получаем:

$$B_0 (1-\beta_0)^{1/2} + \frac{\epsilon^2 B_0}{4} \left\{ \frac{4}{\epsilon^2} (1-\beta_0)^{1/2} [I_0(\epsilon \beta_0) - 1] - \right. \\ \left. - \frac{48\gamma}{\epsilon^3} I_3(\epsilon \beta_0) \right\} = B_0 \quad (12)$$

Решая совместно уравнения (12) и (13) находим параметрическую зависимость всех величин от $x = \epsilon \beta_0$

$$(1-\beta_0)^{1/2} = \frac{I_3'(x)}{A(x)} \quad \epsilon = \frac{12\gamma A(x)}{I_0'(x)} \quad \beta_0 = x/\epsilon$$

$$A(x) = \begin{vmatrix} I_0(x) & I_3(x) \\ I_0'(x) & I_3'(x) \end{vmatrix} \quad (13)$$

При $x=0$ $\beta_0 = \epsilon = 0$, $\beta_0 = \frac{2}{3}$, что соответствует вакуумному решению. С ростом x β_0 монотонно стремится к единице, ϵ экспоненциально растет и сепаратриса

сжимается к оси системы. Профили давления плазмы для различных значений β_0 приведены на рис.1.

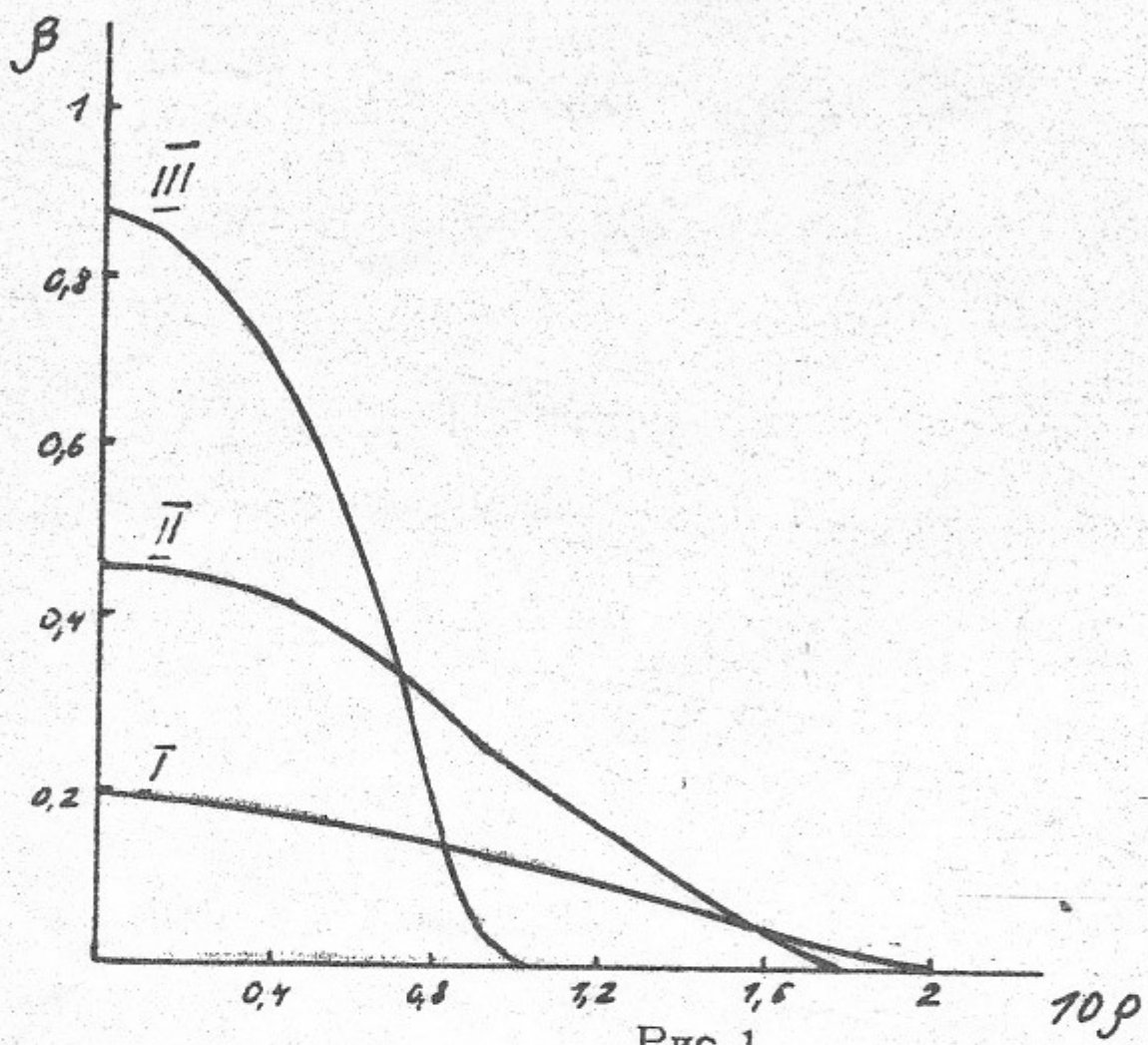


Рис.1.

$$1. \gamma = 3; \beta_0 \approx 0.2; \rho_c \approx 0.2;$$

$$II. \gamma = 3; \beta_0 \approx 0.47; \rho_c \approx 0.18;$$

$$III. \gamma = 3; \beta_0 \approx 0.88; \rho_c \approx 0.1.$$

Важными, с точки зрения устойчивости, характеристиками магнитного удержания плазмы являются удельный объём (\mathcal{U}) и средний угол прокручивания (i) силовых линий магнитного поля на данной магнитной поверхности. Поэтому интересно проследить, как меняются эти величины в зависимости от давления плазмы. Удельный объём магнитной поверхности $\mathcal{U} = dV/d\psi$ является пределом интеграла $\int \frac{d\psi}{B_1}$ для силовых линий, образующих данную поверхность. Так как магнитная ось и ребро сепараторы являются винтовыми силовыми линиями, то поле вдоль них остается постоянным (из-за симметрии), и их удельный объём

ем $\mathcal{U}^{(0)}$ и $\mathcal{U}^{(c)}$ вычисляется особенно просто [5]. Из (2) выражаем B_2 через \mathcal{I} и Ψ : $B_2 = \frac{\partial + \kappa \rho}{\mathcal{I} + \rho^2} \frac{\partial \Psi / \partial \rho}{\partial \mathcal{I} / \partial \rho}$.

Но на оси \mathcal{Z} на ребре сепаратрисы $\frac{\partial \Psi / \partial \rho}{\partial \mathcal{I} / \partial \rho} = 0$, поэтому

$$B_2^{(0)} = \mathcal{I}^{(0)} = B_0 (1 - \beta_0)^{1/2} \quad B_2^{(c)} = \frac{\mathcal{I}^{(c)}}{1 + \beta_0^2} = \frac{B_0}{1 + \beta_0^2} \quad (14)$$

$$\mathcal{U} = \int \frac{dE}{B_1} = \int \frac{d\mathcal{I}}{B_2}$$

$$\text{следовательно } \mathcal{U}^{(c)} = \frac{L}{B_0 (1 - \beta_0)^{1/2}}$$

$$\mathcal{U}^{(c)} = \frac{L (1 + \beta_0)^2}{B_0}$$

, где $L = 2\pi/K$ - период поля

вдоль оси Z . Найдем $\beta_0^{(c)}$, при котором эти величины сравниваются:

$$\beta_0^{(c)} \approx 2\beta_0^2 \ll 1$$

При этом поверхности еще мало отличаются от вакуумных, для которых $\beta_0 \approx \frac{2}{3}\gamma$. Отсюда $\beta_0^{(c)} \approx \frac{8}{9}\gamma^2$

При дальнейшем увеличении β_0 образуется "магнитная яма".

Если $\beta_0 \gg \beta_0^{(c)}$, то для всех поверхностей $\mathcal{U} \approx 4/3(4)$

Средний угол прокручивания $\bar{\chi} = 2\pi \chi'(0)$ в случае, когда винтовое поле содержит только одну гармонику, может быть вычислен методом, изложенным в обзоре [5]. При $E \gg T$ для $\chi'(0)$ получаем следующее выражение:

$$\chi'(0) = 1 - \frac{\pi}{2} \frac{B_0}{\mathcal{I}(4)} \cdot \frac{1}{\int_{\rho_{min}}^{\rho_{max}} \frac{\rho d\rho}{\sqrt{f'(\rho) - [\chi - f(\rho)]^2}}} \quad (15)$$

где $f(\rho) = \frac{4}{\epsilon^2} (1 - \beta_0)^{1/2} [I_0(\epsilon\rho) - 1]$, $f'(\rho) = \frac{4\epsilon}{\epsilon^3 I_3(\epsilon\rho)}$

а ρ_{min} и ρ_{max} - нули разности под корнем.

Для вакуумного поля весь "shear" сосредоточен в области сепаратрисы, которая сильно разрушается при учёте конечной тороидальности. Вычисления по формуле (15) показывают, что начиная с $\beta_0 \approx 0,5$ становится заметным более равномерное распределение "shear" между осью и сепаратрисой (см. рис.2).

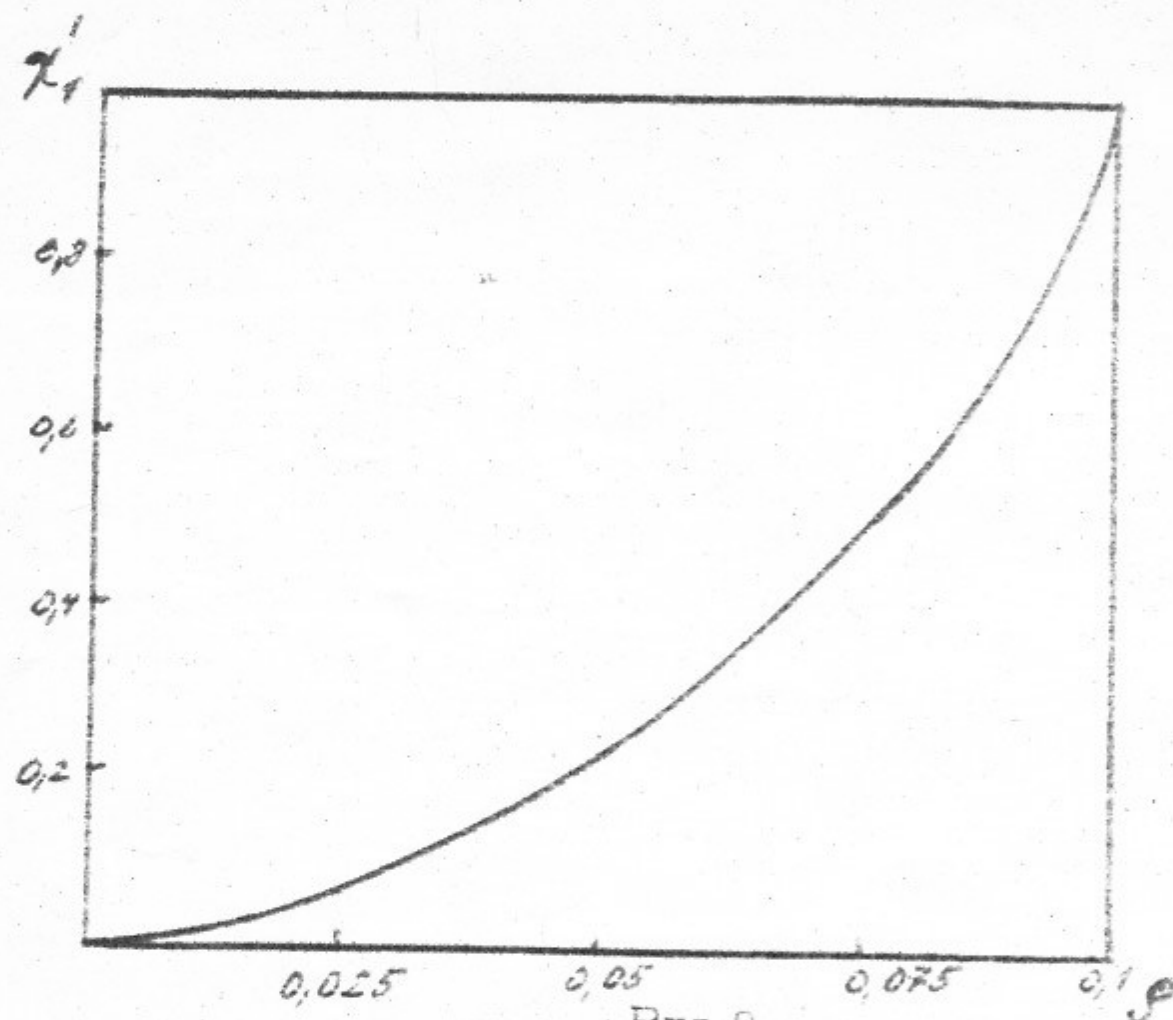


Рис.2.

Параметр прокручивания при $\beta_0 \approx 0,88$. ($J = 3$).

Таким образом, присутствие плазмы увеличивает эффективный "shear", если новые поверхности по каким-либо причинам не разрушаются значительно сильнее вакуумных.

Автор благодарен А.Галееву за многочисленные советы и обсуждение результатов и В.Минаеву за проведение машинных вычислений.

Л и т е р а т у р а

- 1 1 / В.Д.Шафранов. "Атомная энергия" 21, 47 (1966).
- 1 2 / Johnson J.L., Swegle C.R., Kulsrud R.M.
and Friedman E.J. *J. Phys. Fluids* 2, 287 (1959)
- 1 3 / А.И.Морозов, Л.С.Соловьев. Вопросы теории плазмы.
Москва (1963), вып.3, стр.3-82.
- 1 4 / Б.Б.Кадомцев. ЖЭТФ 37, 1352 (1959).
- 1 5 / А.С.Соловьев, В.Д.Шафранов. Вопросы теории плазмы.
Москва (1967), вып.5, стр.3-208.